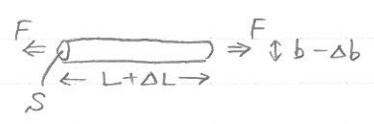
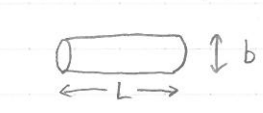


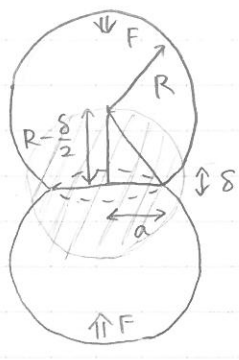
接触相互作用モデル

● Hooke の法則



$$\left\{ \begin{array}{l} \text{ヤング率 } Y \text{ [dyn cm}^{-2}\text{]} \\ \text{ポアソン比 } \nu \end{array} \right. \left\{ \begin{array}{l} \frac{\Delta L}{L} = \frac{F}{YS} \\ \nu = \frac{\Delta b/b}{\Delta L/L} \end{array} \right. \quad (\text{詳しくは参考資料})$$

● Hertz 理論



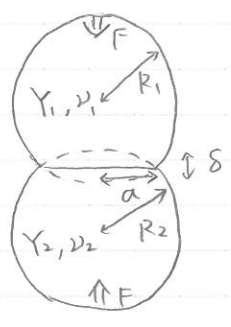
$$\begin{aligned} (R - \frac{\delta}{2})^2 + a^2 &= R^2 \\ R^2 - \delta R + \frac{\delta^2}{4} + a^2 &= R^2 \\ \delta &\ll R \end{aligned}$$

$$\delta = \frac{a^2}{R} \Leftrightarrow a = \sqrt{R\delta} \Leftrightarrow \frac{\delta}{a} = \frac{a}{R} \quad \dots (1)$$

Hooke の法則を接触面付近の $V \sim a^3$ に適用

$$\begin{aligned} L &\sim a, \quad S \sim a^2 \\ \frac{\delta}{a} &\sim \frac{F}{Ya^2} \quad \dots (2) \end{aligned}$$

(1), (2) より $F \sim \frac{Ya^3}{R} \sim YR^{\frac{1}{2}} \delta^{\frac{3}{2}}$ ← 非線形 1/2 べき

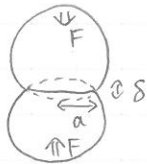


$$\begin{cases} a = \sqrt{R\delta} \\ F = \frac{4Y_*}{3R} a^3 = \frac{4Y_* R^{\frac{1}{2}}}{3} \delta^{\frac{3}{2}} \end{cases}$$

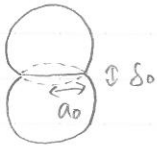
$$\begin{cases} R = \frac{R_1 R_2}{R_1 + R_2} \\ Y_* = \left[\frac{(1-\nu_1)^2}{Y_1} + \frac{(1-\nu_2)^2}{Y_2} \right]^{-1} \end{cases}$$

変形による弾性エネルギー - $U_E = \int F d\delta = \int \frac{4Y_* R^{\frac{1}{2}}}{3} \delta^{\frac{3}{2}} d\delta = \frac{8Y_* R^{\frac{1}{2}}}{15} \delta^{\frac{5}{2}} = \frac{8Y_*}{15R^{\frac{1}{2}}} a^5$

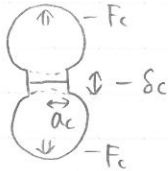
● JKR 理論



単位表面積あたりのエネルギー γ [erg cm²]
 左 a とき $2\pi a^2$ 矢わわれている
 接触面での束縛エネルギー
 $U_s = -2\gamma\pi a^2$



表面吸着力 (引力) = 弾性力 (斥力) a とき
 外力 = 0 の平衡解がある (a₀, delta₀)



F < 0 (引はり) の平衡解もあるが
 -F が大きすぎると pull-off する (a_c, -delta_c, -F_c)

$a^2 \sim R\delta$ とすると $U_s \sim -2\pi\gamma R\delta$

表面吸着力 -F_s は $F_s \equiv \frac{dU_s}{d\delta} \sim -2\pi\gamma R$

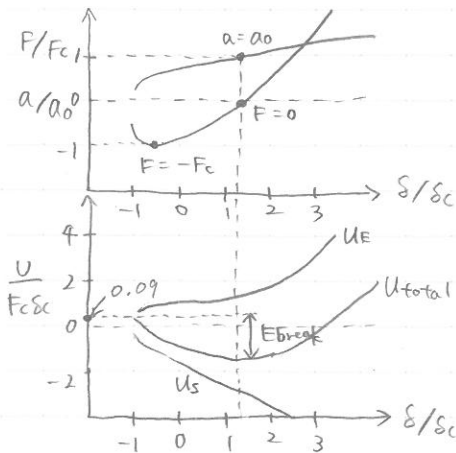
$\therefore F_c \sim 2\pi\gamma R$

外力 F = 0 a とき $F_c + F_E = 0$
 $-2\pi\gamma R + \gamma a_0^3 / R = 0$

$\therefore a_0 \sim \left(\frac{2\pi\gamma R^2}{\gamma}\right)^{\frac{1}{3}} \quad \delta_0 \sim \frac{a_0^2}{R}$

このときの束縛エネルギー

$E_{break} \sim 2\pi\gamma a_0^2 \sim F_c \delta_0 \sim \frac{(2\pi\gamma)^{\frac{5}{3}} R^{\frac{4}{3}}}{\gamma^{\frac{2}{3}}}$



$a_0 = \left(\frac{9\pi\gamma R^2}{Y_*}\right)^{\frac{1}{3}}$

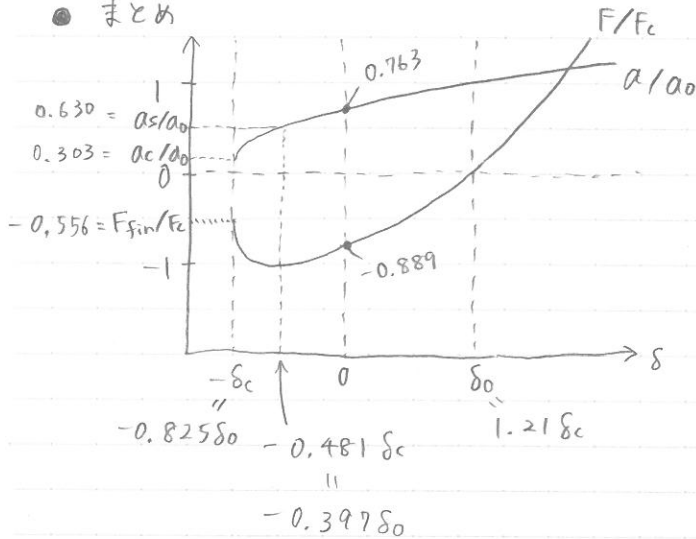
$F_c = 3\pi\gamma R$

$\delta_c = \frac{1}{2} \frac{a_0^2}{R}$

$\delta_0 = \frac{a_0^2}{3R}$

$E_{break} = 1.54 F_c \delta_c$

● まとめ



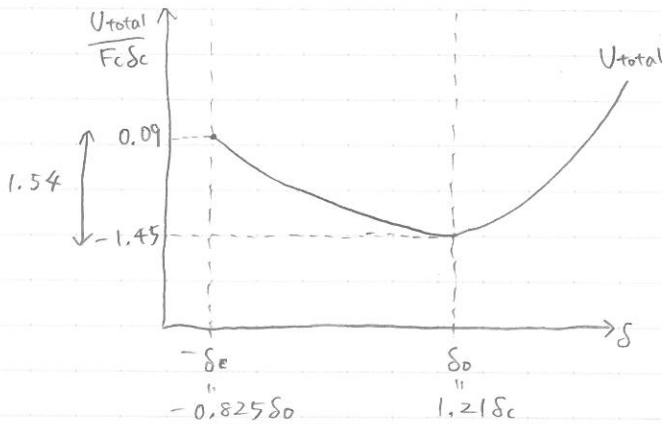
↓ 接触



その瞬間 $a = 0.763 a_0$ の
接触面形成
($F = -0.889 F_c$)

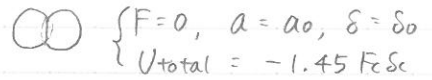
↓

衝突前の運動エネルギー $> 0.09 F_c \delta_c$
→ はね返る
衝突前の運動エネルギー $< 0.09 F_c \delta_c$
→ δ_0 を中心に振動

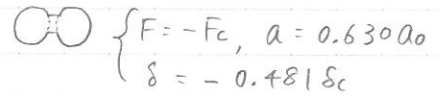


$E_{stick} = 0.09 F_c \delta_c$

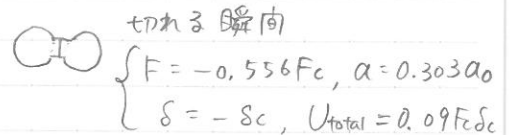
* エネルギー-散逸 (音波) を考えると
 $E_{stick} = 0.4 F_c \delta_c$



↓ ひきはがす



↓ まだのひる



$E_{break} = 1.54 F_c \delta_c$

* エネルギー-散逸 (音波) を考えると
 $E_{break} = 1.8 F_c \delta_c$